

教授 山本 智  
助教 坂井南美  
助教 渡邊祥正  
D3 椎野竜哉  
D2 山口貴弘  
D1 柴田大輝  
M2 相馬達也  
M2 徳留智矢  
M1 猪熊宏士  
M1 西村優里

ALMA望遠鏡による星・惑星系形成の探求

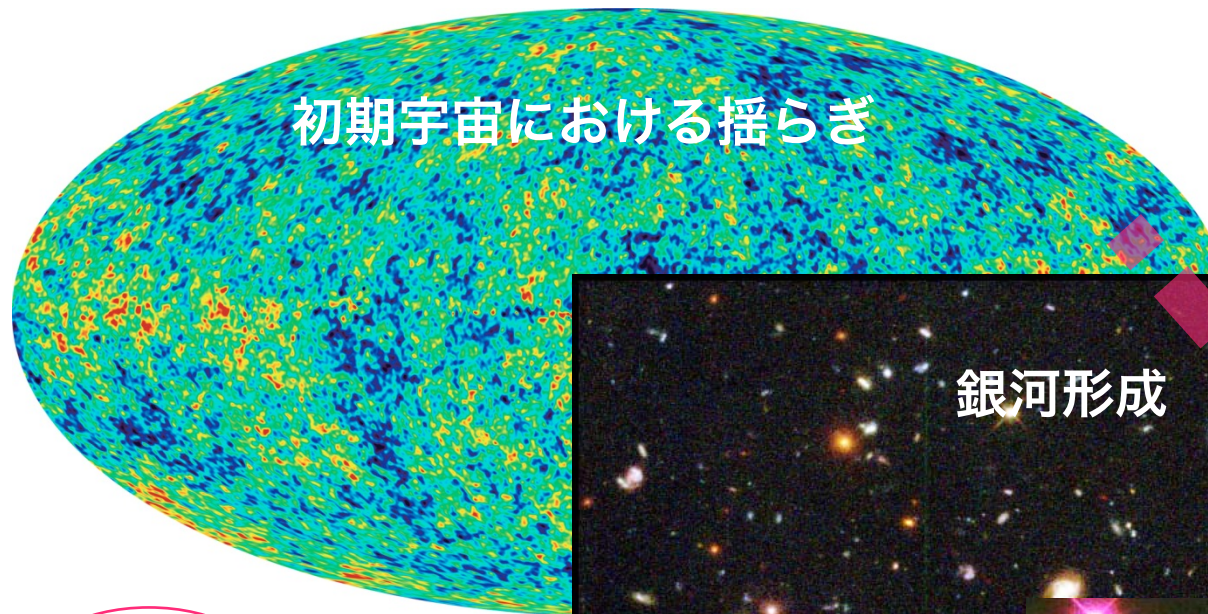


# 宇宙物理学

- 宇宙を「実験室」とした物理学
  - 地上では実現できない状態
  - c.f. 高エネルギー、高密度、高磁場、...
- 低温、低密度、...
- 宇宙そのものの物理学
  - 宇宙における構造形成・物質進化の歴史
  - c.f. BB、インフレーション、銀河形成、星形成、、

# 宇宙における構造形成

## 物質の進化



原子

分子

原始太陽系の  
環境はどうやって  
できあがったの？



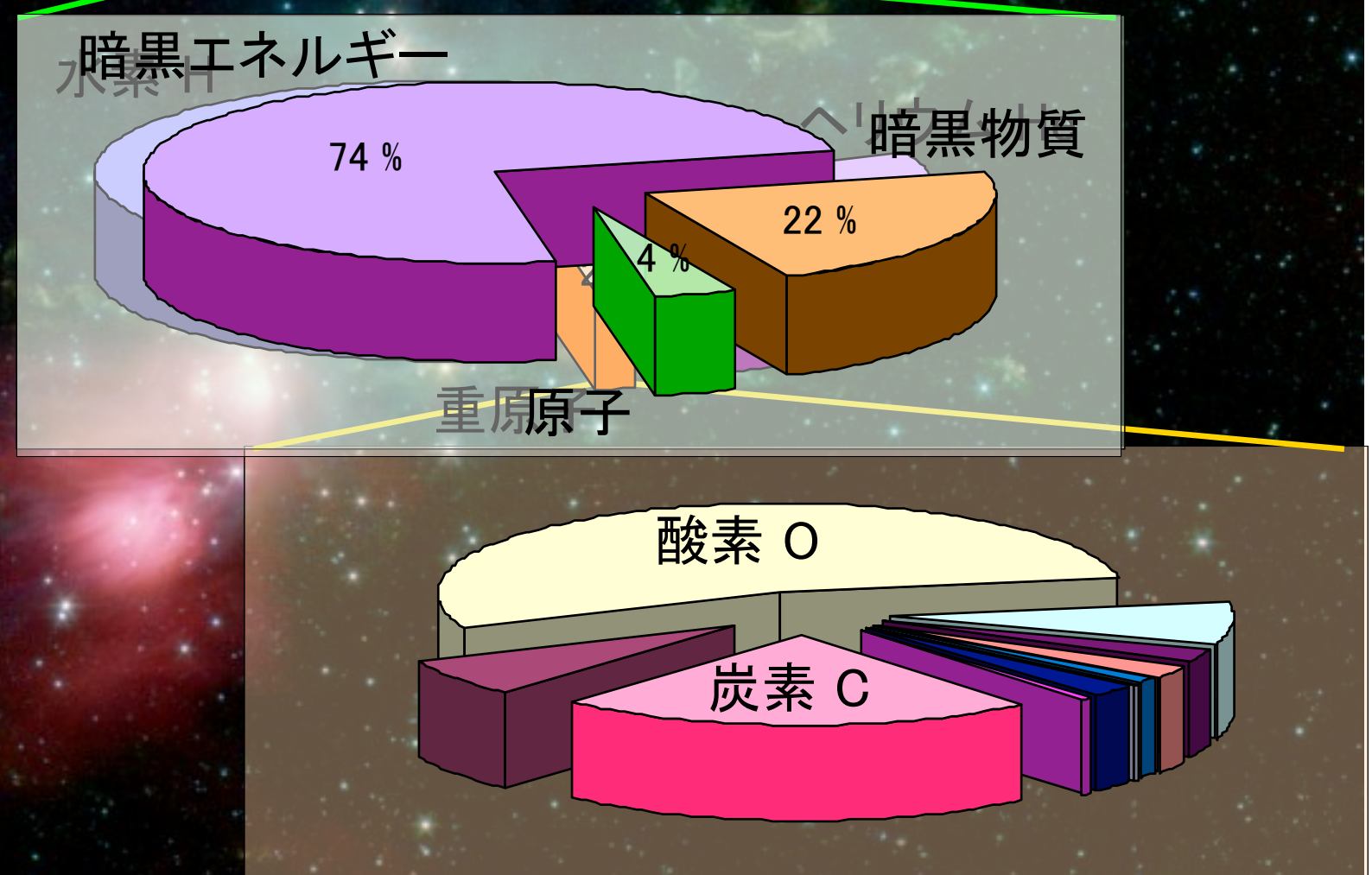
銀河形成



惑星系形成



# Matter in the Universe



# なぜ電波か？

(1)電磁波の中で並外れた透過力

構造形成の核心に迫れる

(例)星形成、惑星系形成、活動銀河核  
遠方銀河

(2)物質が詳細に見える

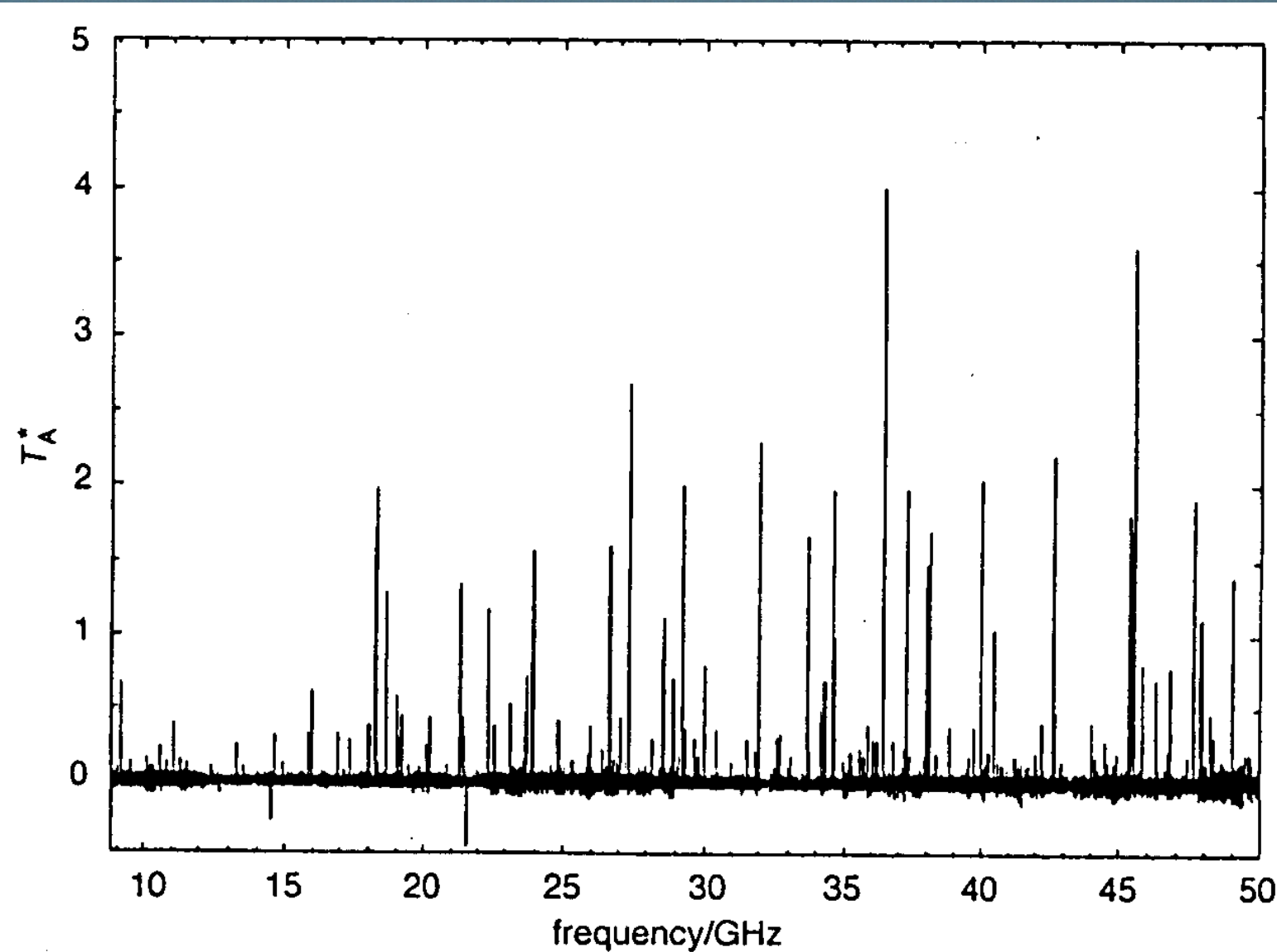
様々な分子の回転スペクトル線

構造形成とともに物質進化を探求できる

(3)高い波長分解能( $R=1,000,000$ )

天体の運動が詳細にわかる

# 国立天文台野辺山宇宙電波観測所 45m電波望遠鏡



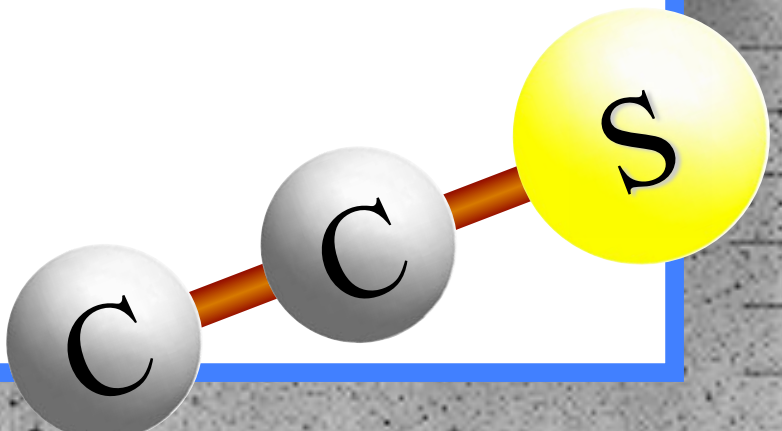
# 星間分子と星間分子雲

H<sub>2</sub>

1  
~10<sup>-4</sup>

星間分子の種類

炭素鎖分子



R Coronae Australis

望遠鏡の解像度  $\delta = k(\lambda/D)$  (回折限界)

光  $\lambda = 5 \times 10^{-7} \text{ m}$   $D=8 \text{ m}$   $\delta=0.02''$

電波  $\lambda = 3 \times 10^{-3} \text{ m}$   $D=45 \text{ m}$   $\delta=18''$



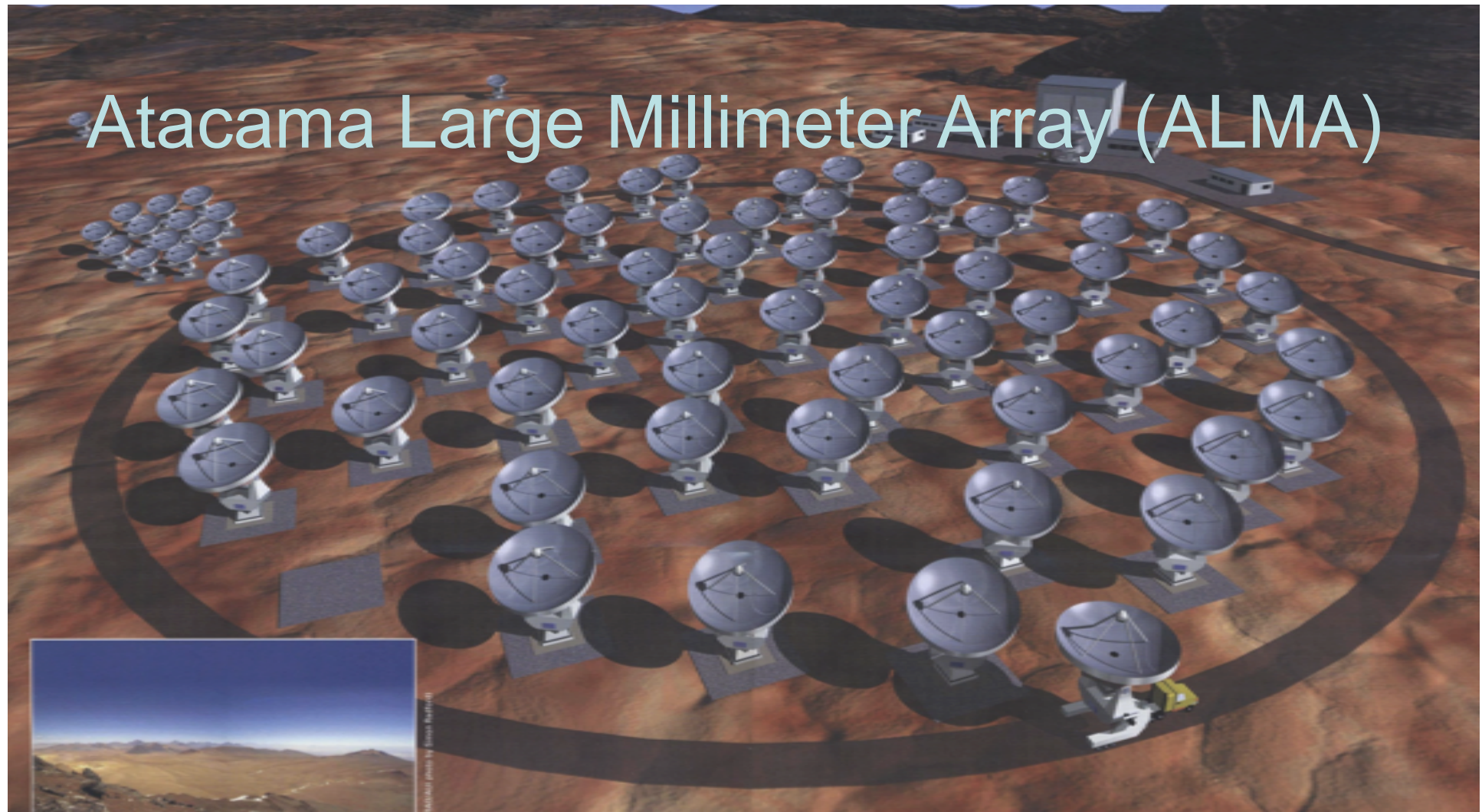
解像度を上げるには  $D \rightarrow$  大

アンテナを複数台並べて信号を干渉  
→ 干渉計:開口合成  
アンテナ間隔がDになる！

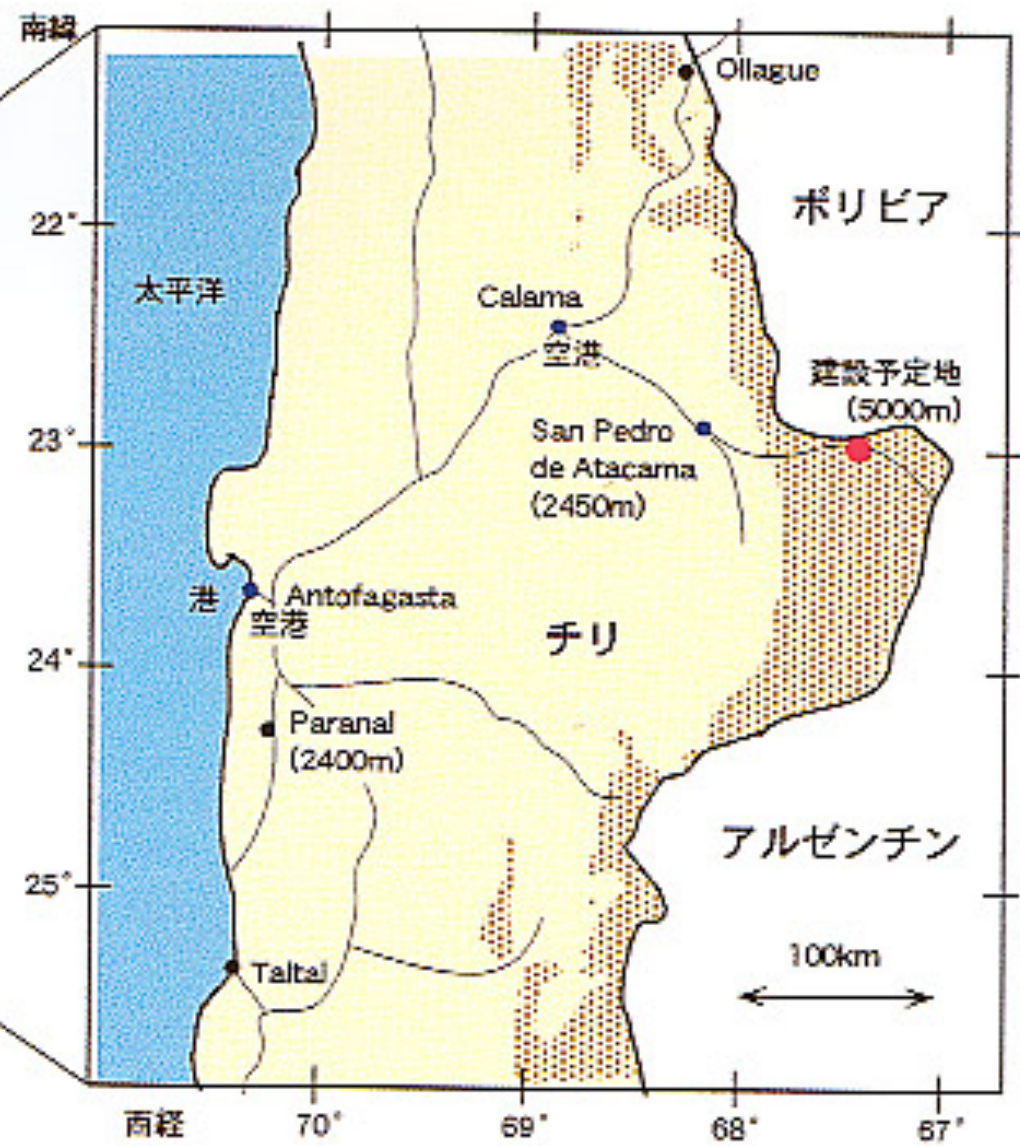


$$\lambda = 3 \times 10^{-3} \text{ m}, D = 800 \text{ m} \rightarrow \delta = 1''$$

# Atacama Large Millimeter Array (ALMA)



- 12 m アンテナ50台を中心とする干渉計をチリの高地に展開
- 高感度、高分解能(0.01秒角)でミリ波、サブミリ波を観測
- 日、米、欧の国際協力で建設中(1,000億円規模)
- 2012年に運用開始予定



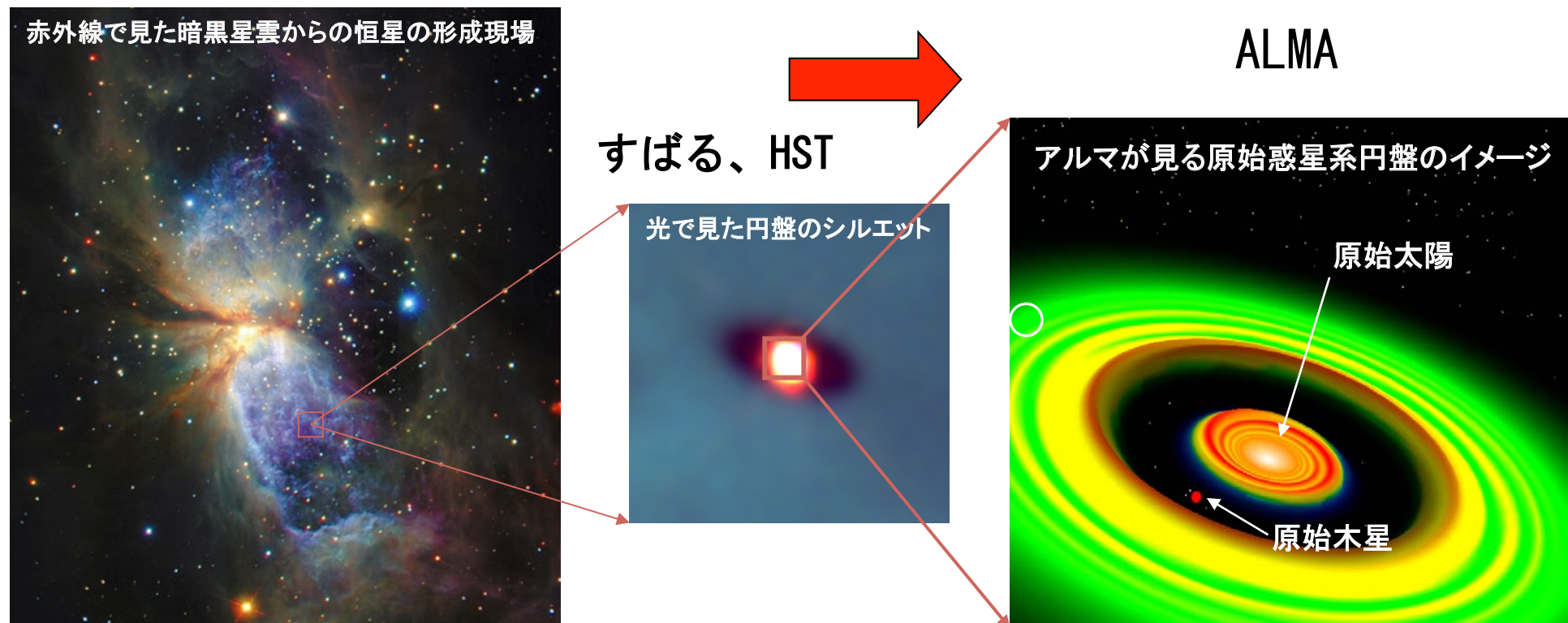
# 動き出すALMA

初期運用開始: *Oct. 2011*  
本格運用開始: *2013 -*



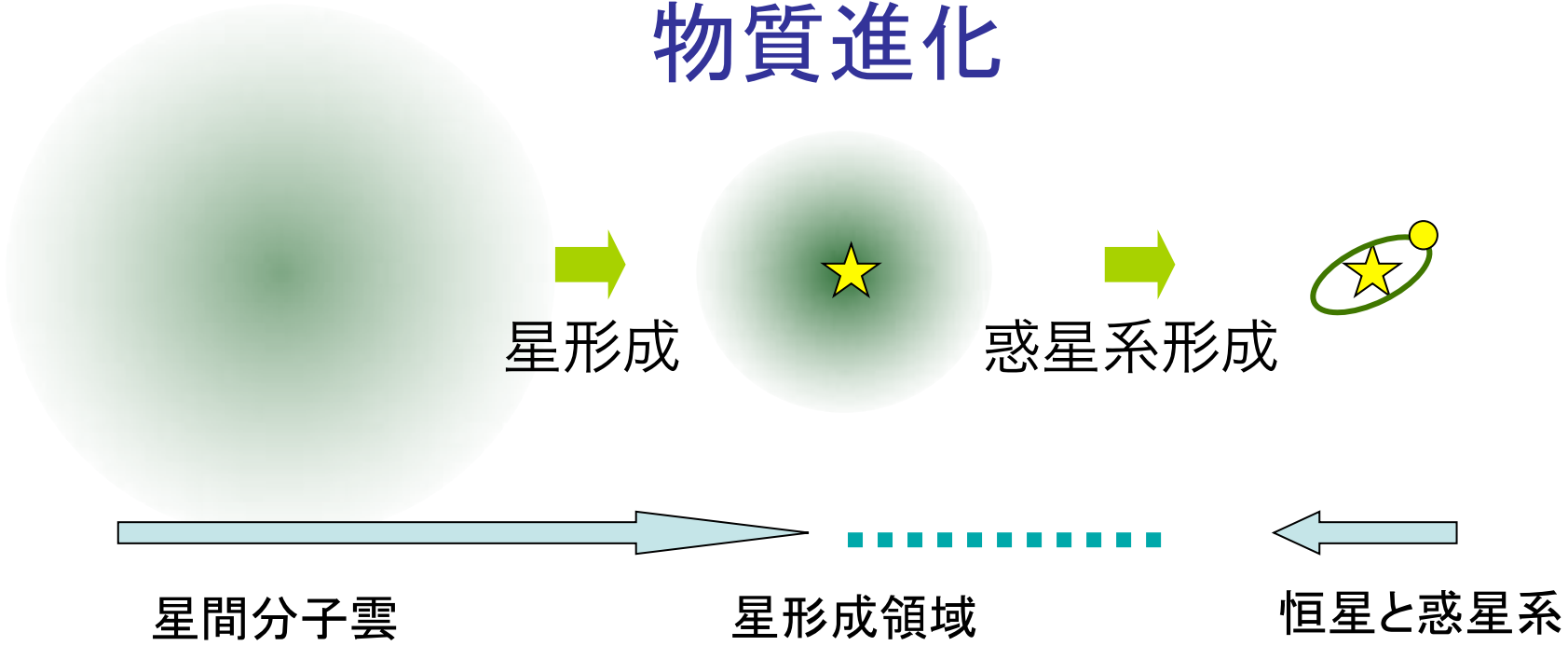
# 太陽系以外の惑星系とその形成

- 最高の空間分解能(0.01秒角)で、恒星を周る原始惑星系円盤の構造を観測し、さまざまな惑星の形成プロセスを解明。
- 日本のACAシステムとサブミリ波受信機で、正確詳細な円盤構造を描く。
- 日本の高分散相関器は、円盤の内部運動や化学組成から、惑星系の多様性や生命の起源に迫る。



# 星形成と惑星系形成

## 物質進化

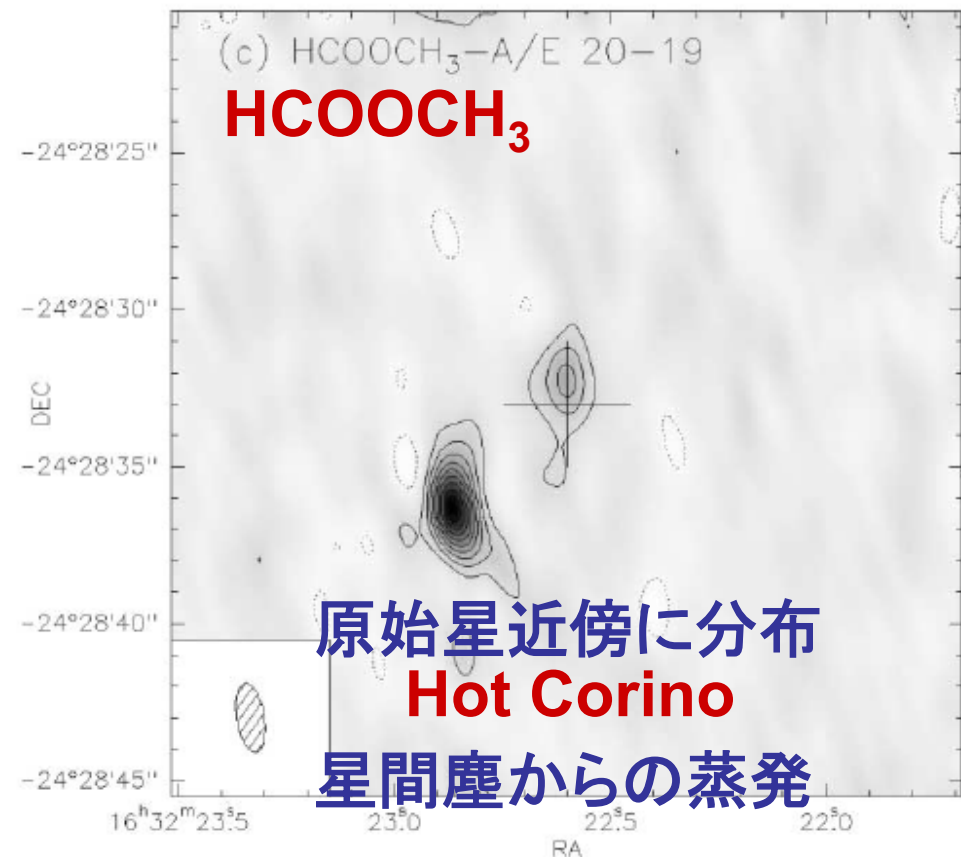
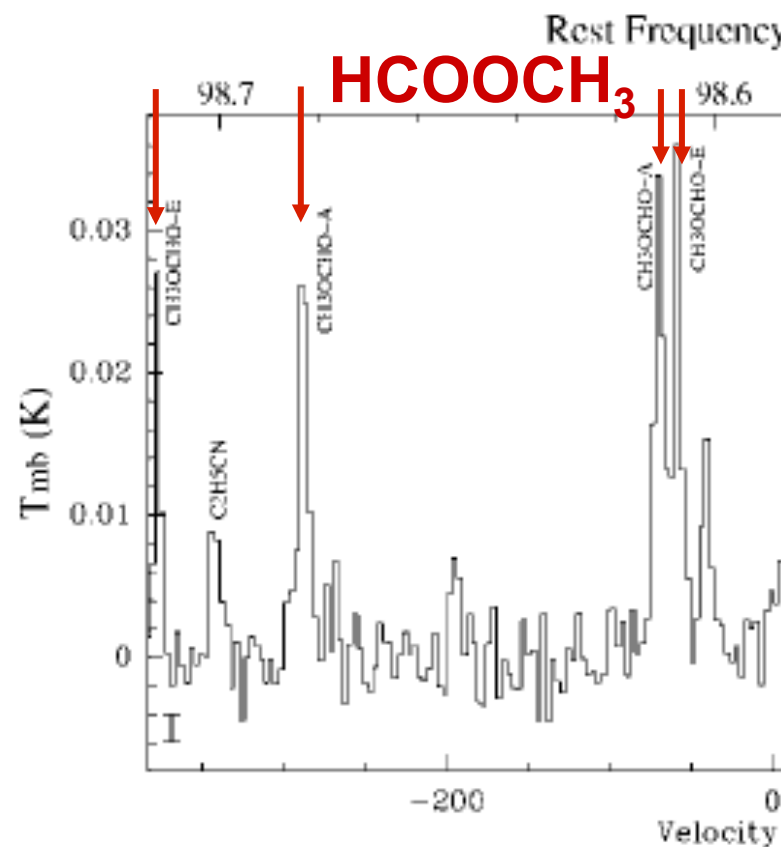


星間化学と惑星科学をつなぐ

星・惑星系形成の物質診断を開拓

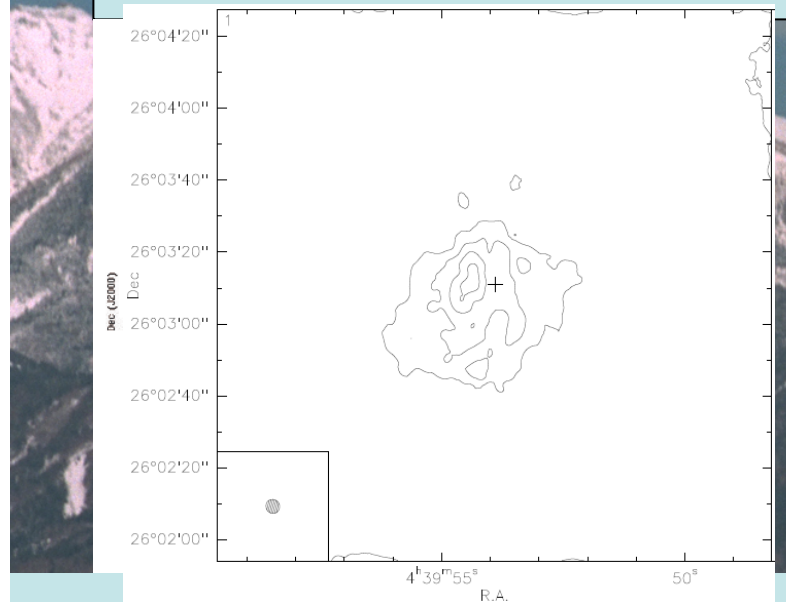
# 低質量原始星 IRAS16293-2422 における 複雑な有機分子の検出

Cazaux et al. 2003; Bottinelli et al. 2005

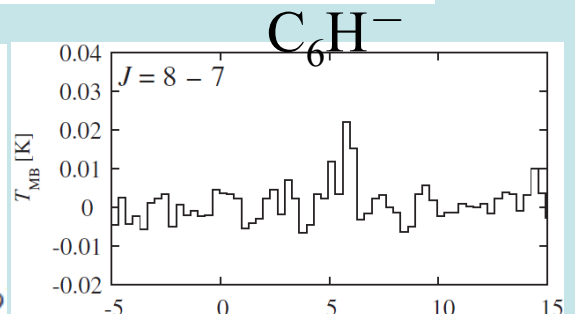
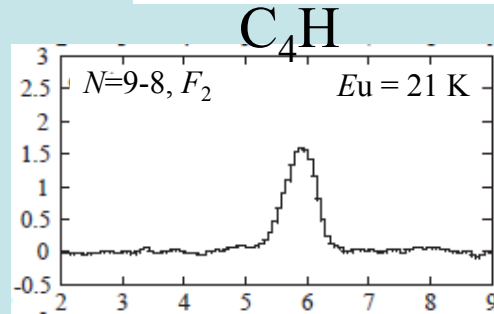


# 炭素鎖分子が異常に豊富な低質量原始星 L1527の発見

Sakai et al. 2008; Sakai et al. 2009



多種多様な炭素鎖分子の存在

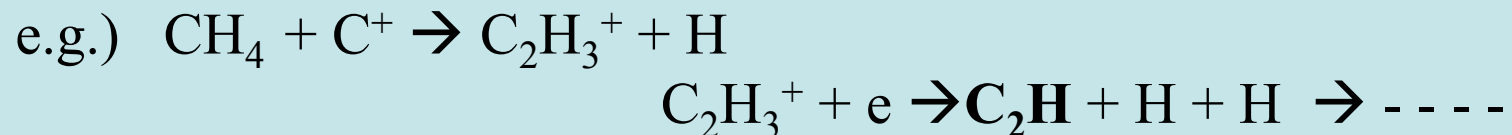


$C_5H$ ,  $C_6H$ ,  $C_4H_2$ ,  $HC_5N$ ,  $HC_7N$ ,  $HC_9N$ ,  $C_4H^-$  etc.

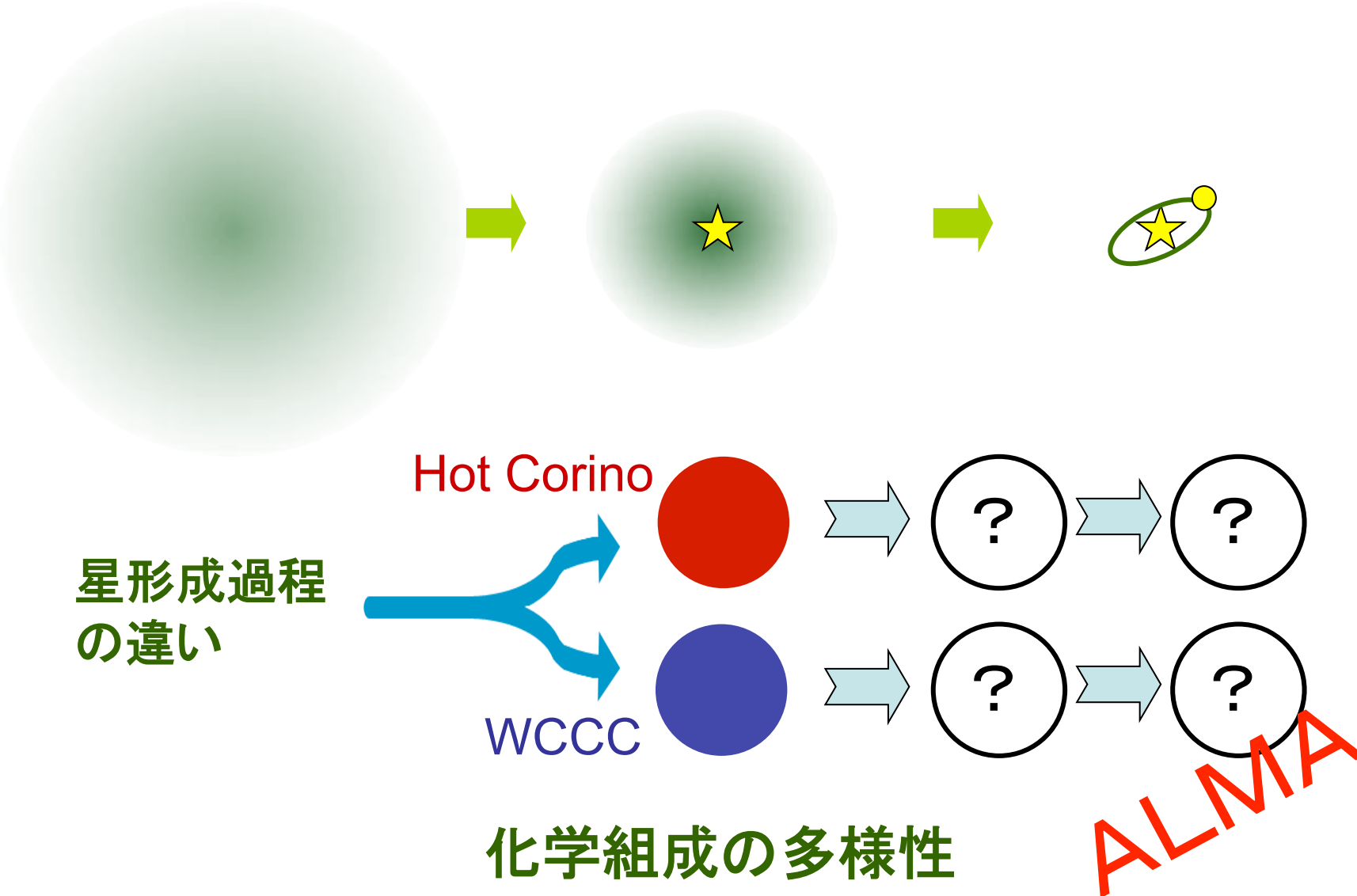
Warm Carbon-Chain Chemistry (WCCC)

冷たい暗黒星雲での  
炭素鎖分子生成と異なる

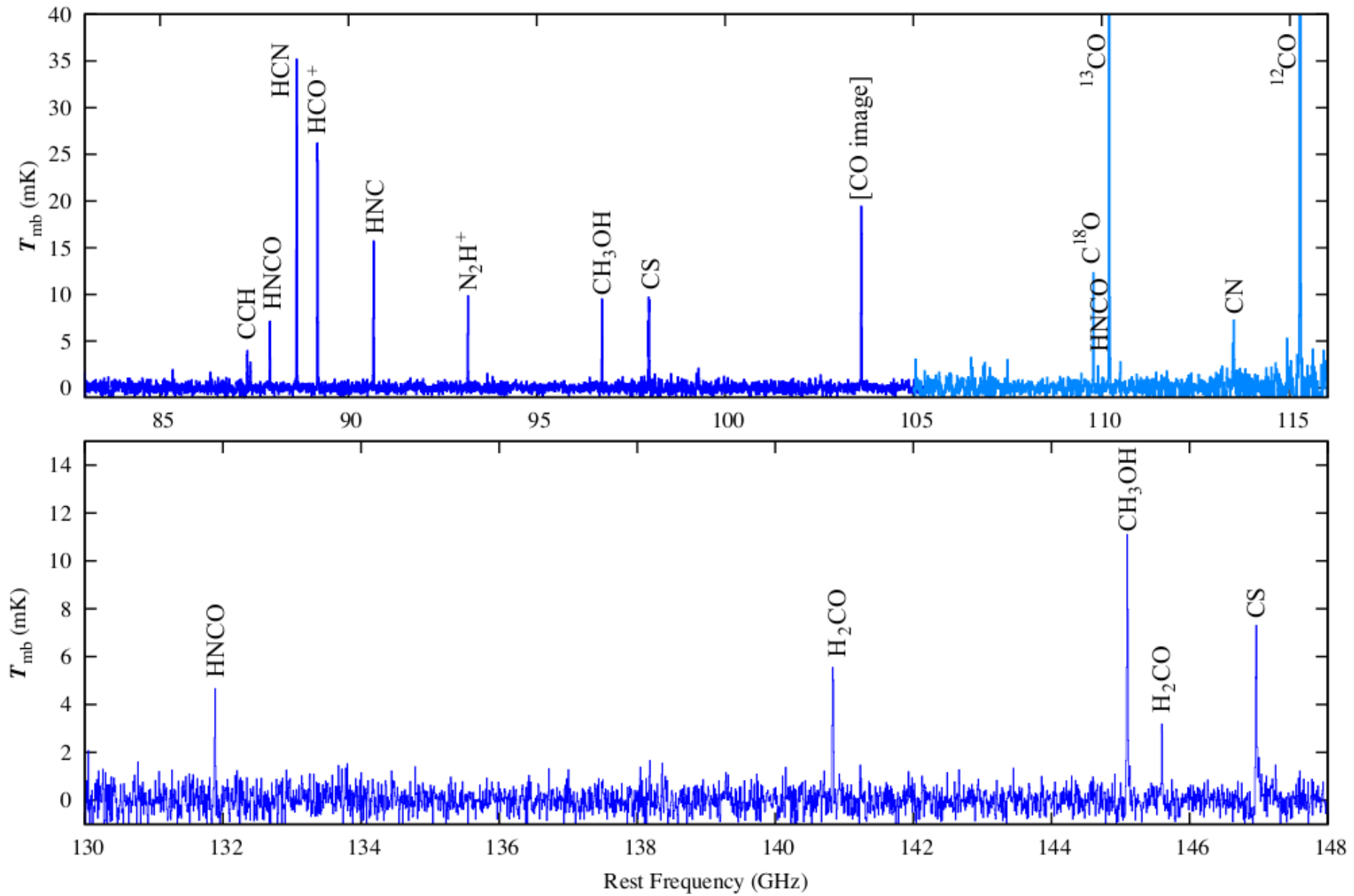
星間塵からの  $CH_4$  の蒸発による炭素鎖分子の爆発的生成



# 星形成から惑星系形成に至る物質進化



# 銀河のスペクトル線観測

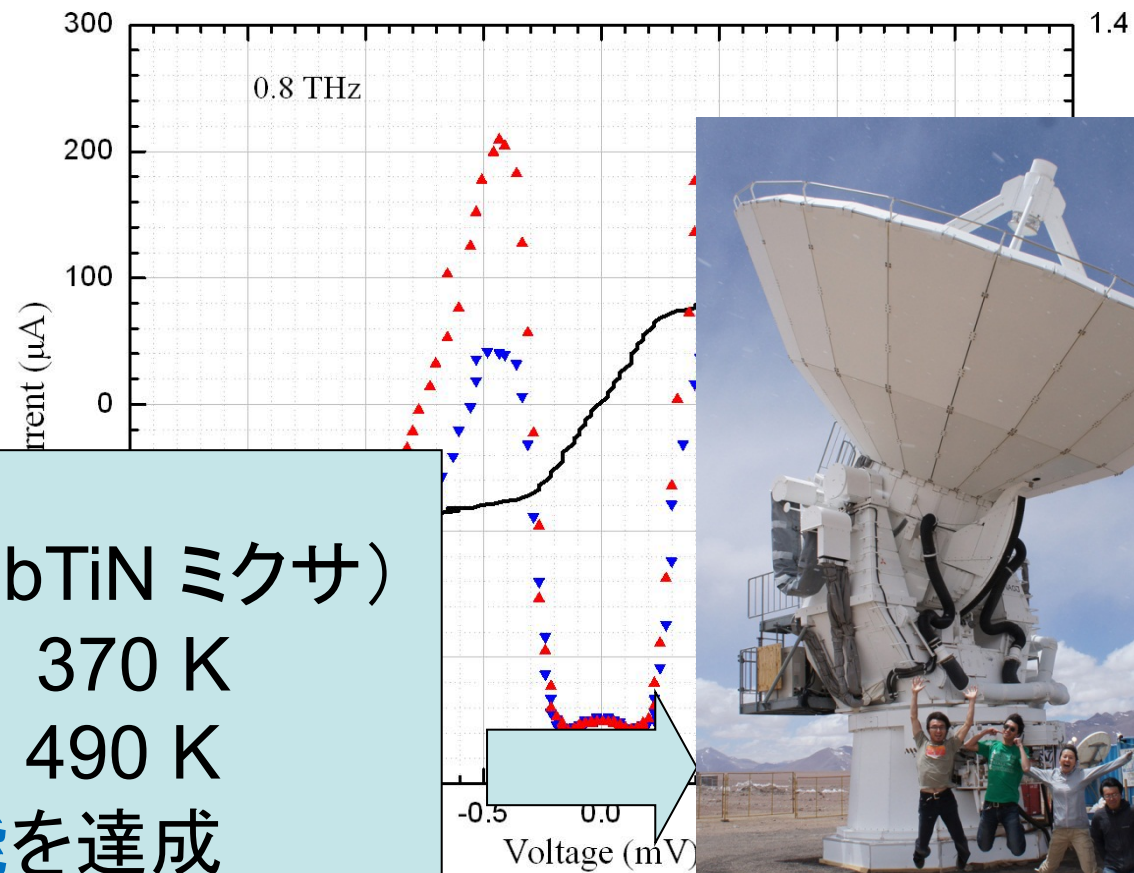
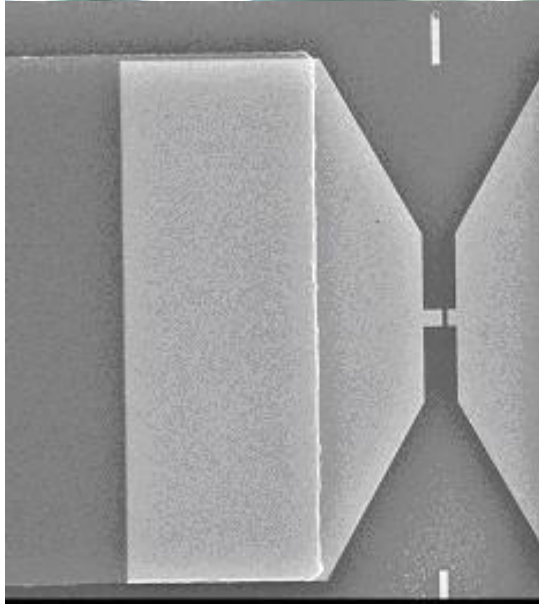


# ALMAの次..

*ALMA 85 – 900 GHz  
テラヘルツ帯(遠赤外線)の観測へ  
(1000 – 3000 GHz; 1 – 3 THz)*



# テラヘルツ帯 Hot Electron Bolometer (HEB)ミクサの開発

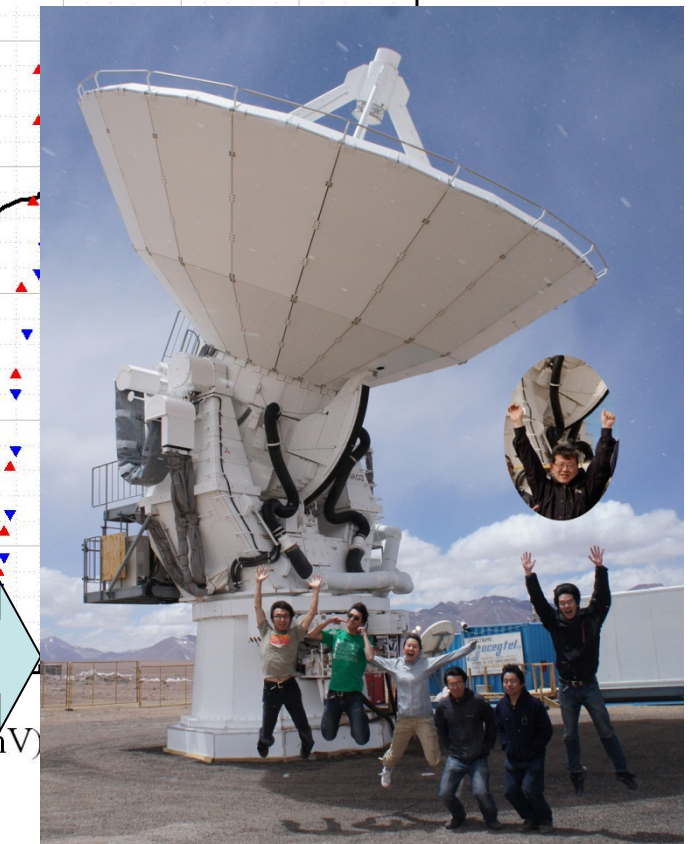


受信機雑音温度(NbTiN ミクサ)

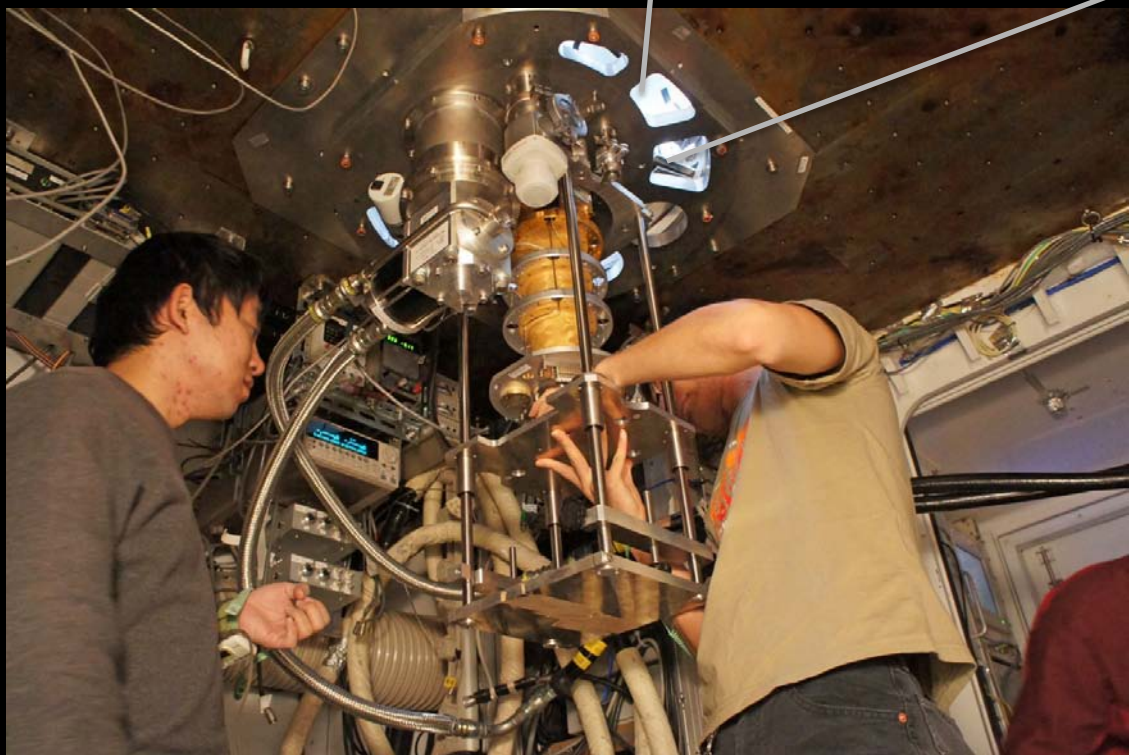
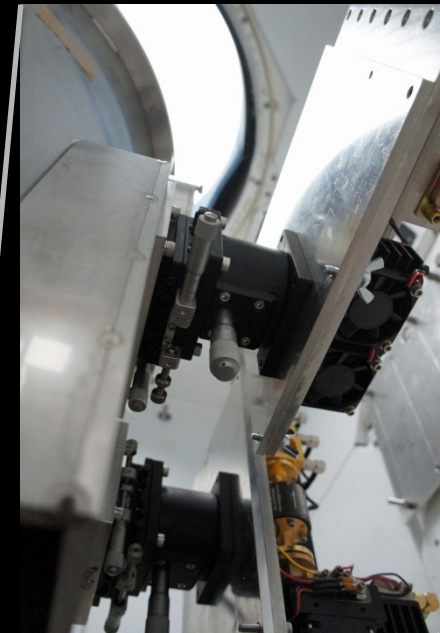
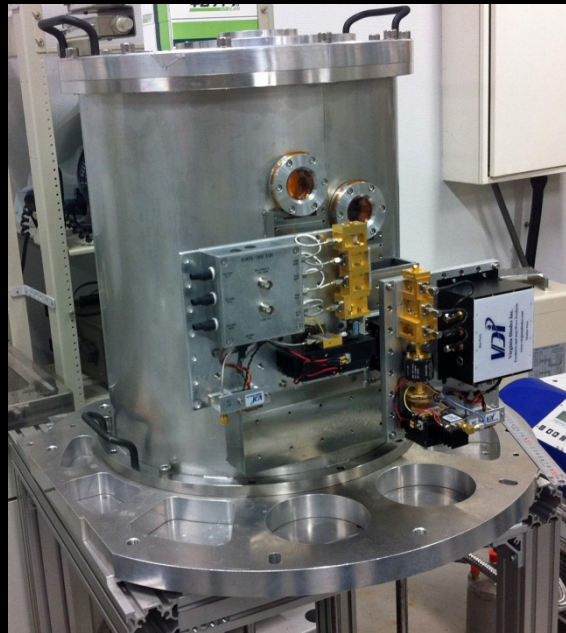
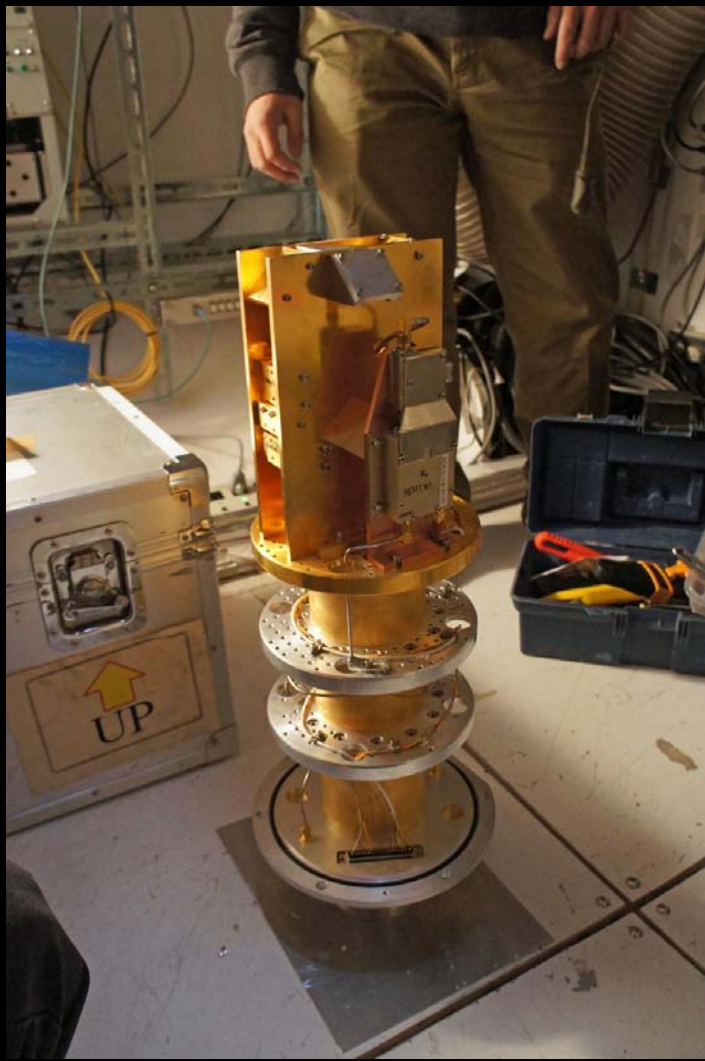
800 GHz 370 K

1500 GHz 490 K

世界最高性能を達成



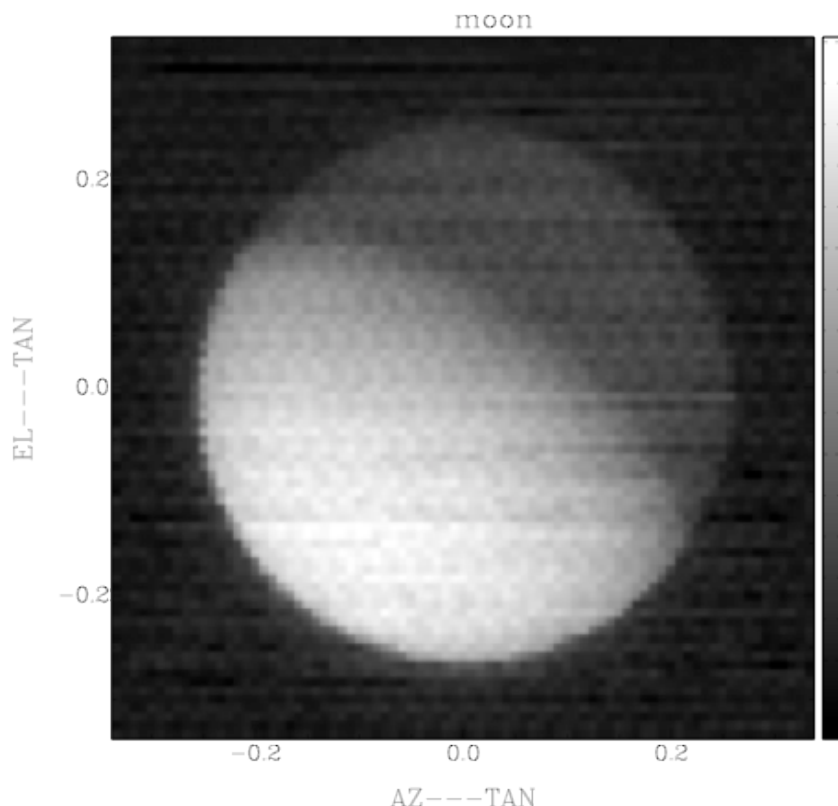
# THz 受信機の搭載



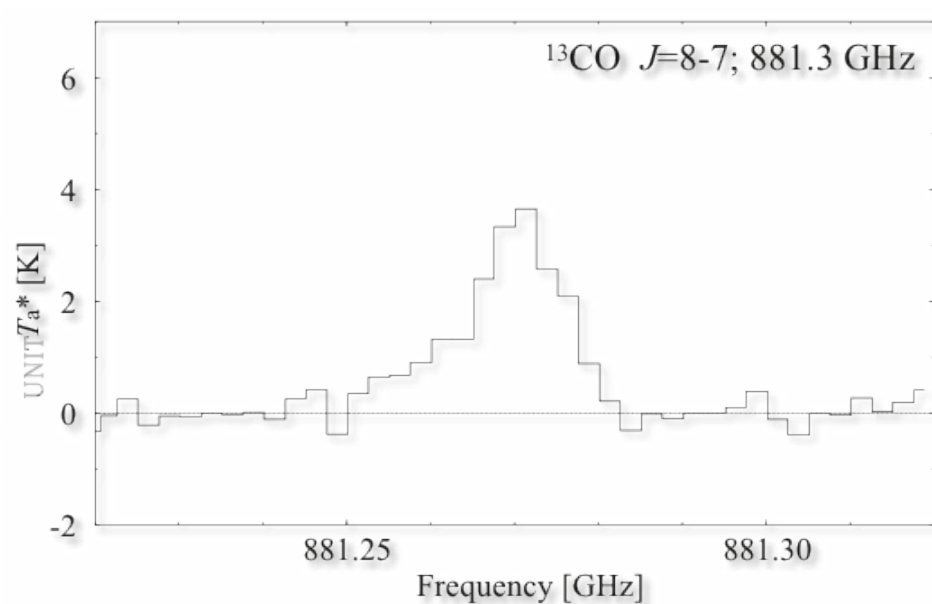
# 初めての試験観測

10/4 20:45~ 連続波で月が見えた！

快晴 P.W.V.~0.61 mm,  
wind~10m/s,  
Y factor ~ 0.40 dB



10/6 朝 Orion KLで  
 $^{13}\text{CO}$  が見えた！

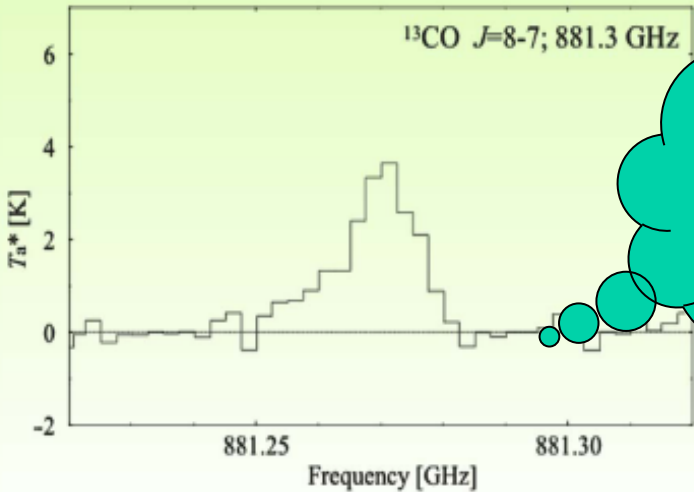


# 大学院生の研究テーマ

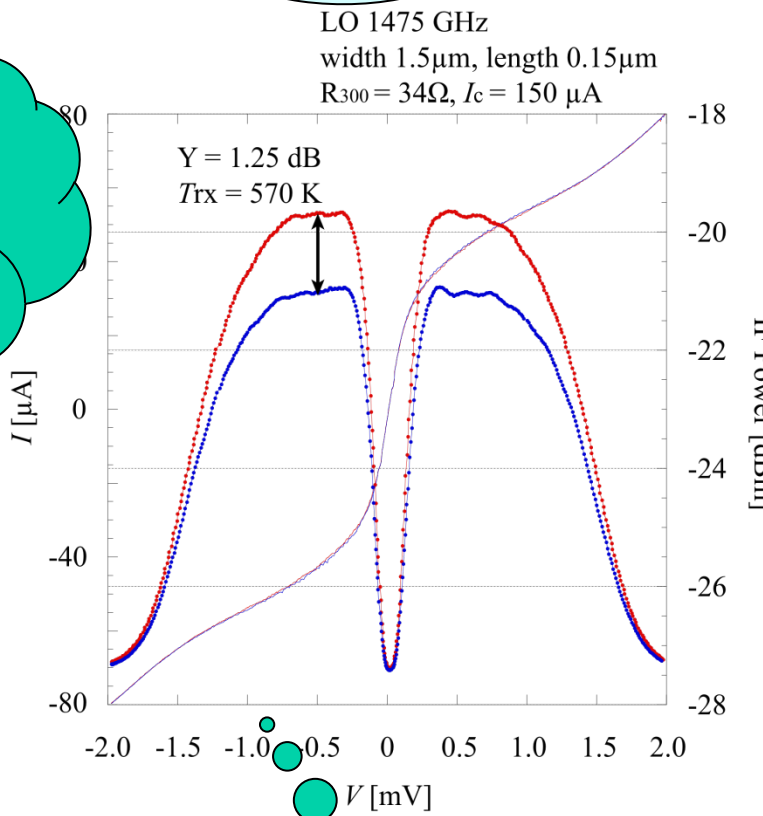
- 椎野竜也(D3) ASTE望遠鏡によるTHz観測の開拓  
超伝導薄膜の性能向上
- 山口貴弘(D2) 衝撃波領域L1157のスペクトル線サーベイ
- 柴田大輝(D1) 低質量星形成における重水素濃縮とその解消
- 相馬達也(M2) THz帯超伝導HEBミクサの開発  
星なしコアでのCH<sub>3</sub>OHの起源
- 徳留智矢(M2) 低質量星形成領域L1527のスペクトル線  
サーベイ  
装置関係(検討中)
- 猪熊宏士(M1) OHの励起計算と吸収線の解明  
装置関係(検討中)
- 西村優里(M1) ASTE望遠鏡によるTHz帯観測の開拓  
基本分子の重水素濃縮度の定量



チリ、アタカマ砂漠の  
ASTEサイトにて  
(標高4800 m)



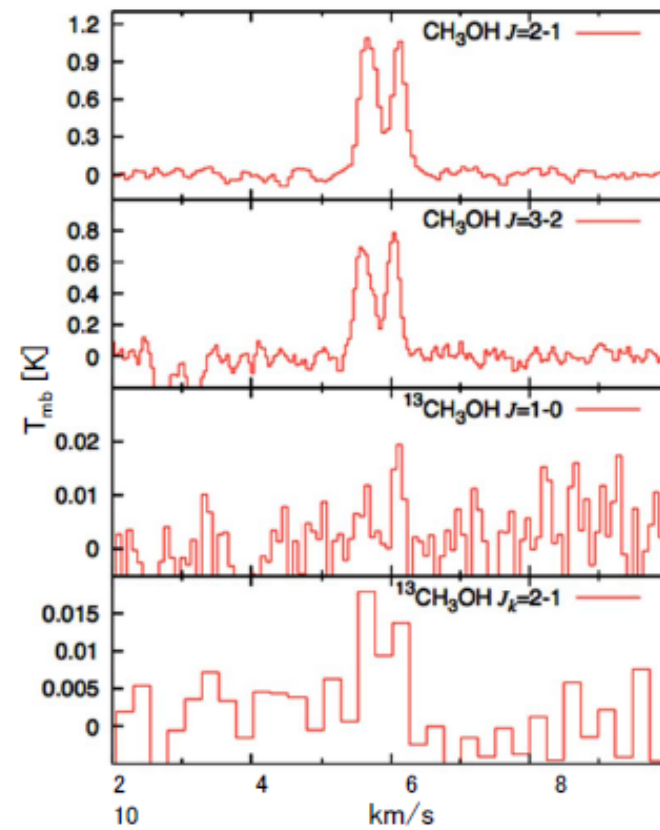
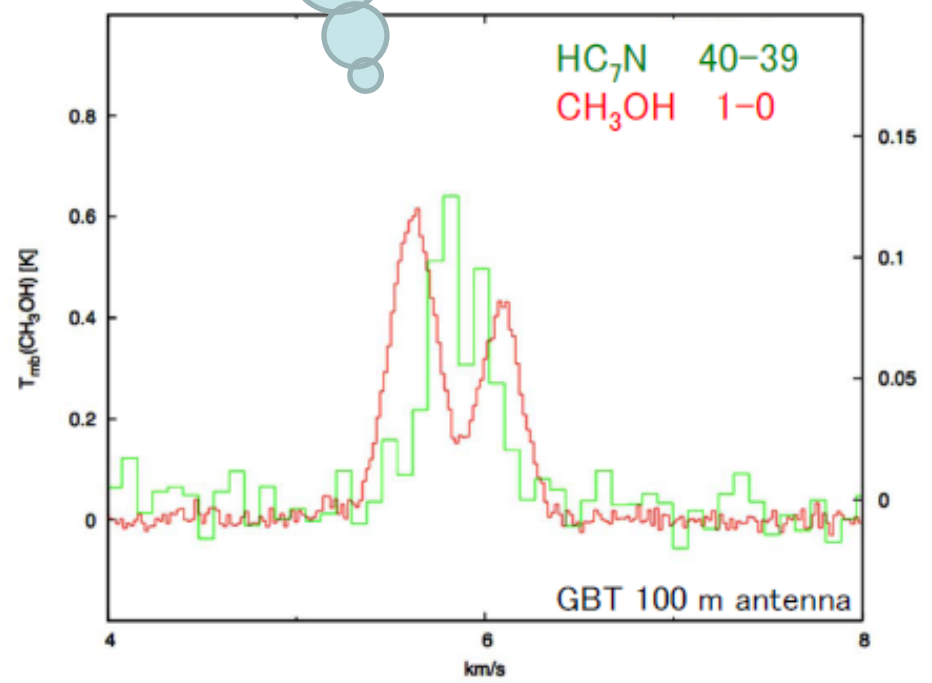
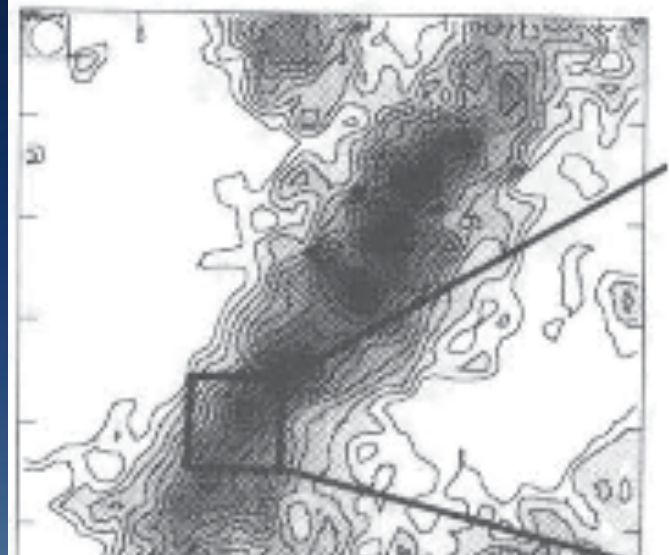
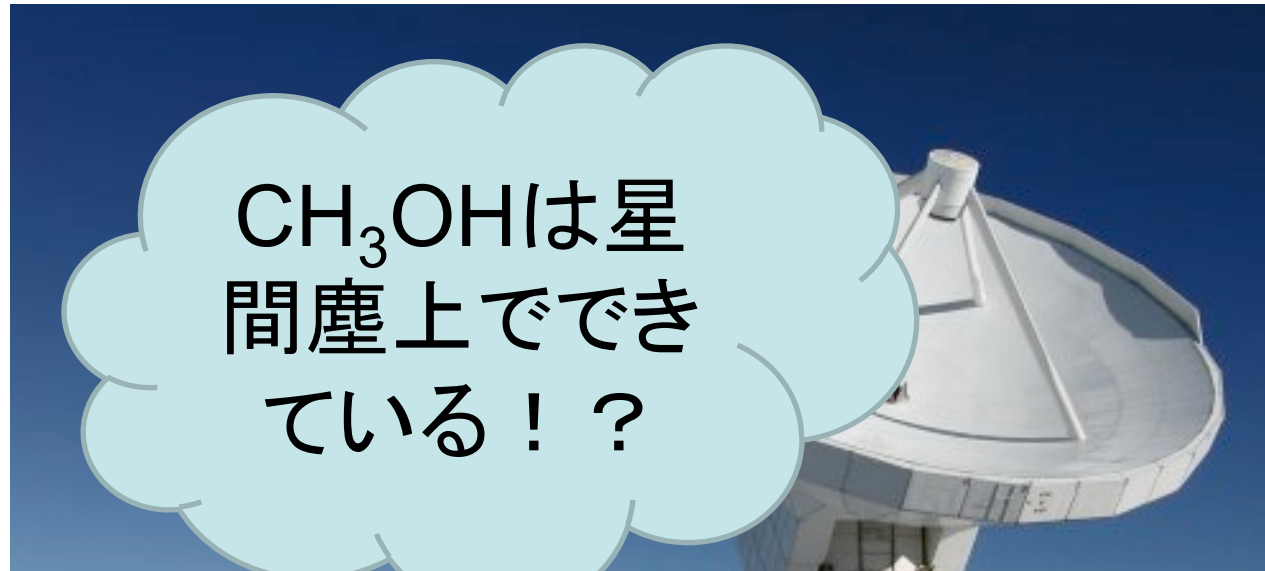
THz観測の  
成功！



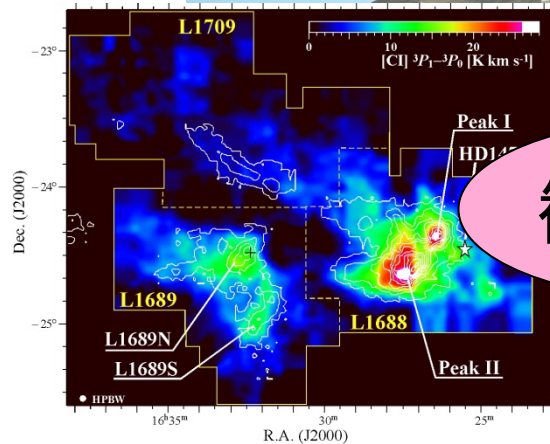
世界一の性能を  
達成！

# 大学院生の研究テーマ

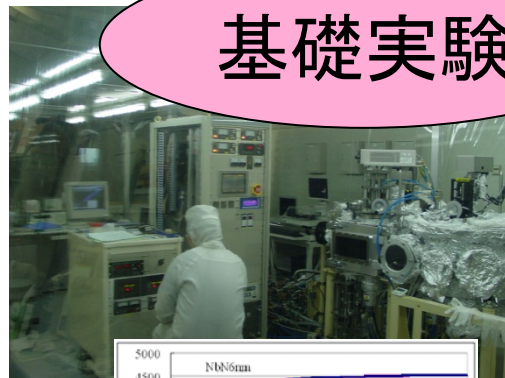
- |          |  |
|----------|--|
| 椎野竜也(D3) | ASTE望遠鏡によるTHz観測の開拓<br>超伝導薄膜の性能向上                       |
| 山口貴弘(D2) | 衝撃波領域L1157のスペクトル線サーベイ                                  |
| 柴田大輝(D1) | 低質量星形成における重水素濃縮とその解消                                   |
| 相馬達也(M2) | THz帯超伝導HEBミクサの開発<br>星なしコアでの $\text{CH}_3\text{OH}$ の起源 |
| 徳留智矢(M2) | 低質量星形成領域L1527のスペクトル線<br>サーベイ<br>装置関係(検討中)              |
| 猪熊宏士(M1) | OHの励起計算と吸収線の解明<br>装置関係(検討中)                            |
| 西村優里(M1) | ASTE望遠鏡によるTHz帯観測の開拓<br>基本分子の重水素濃縮度の定量                  |



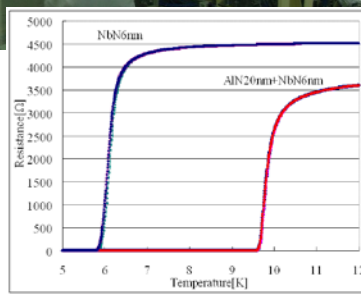
# 観測的研究までのステップ



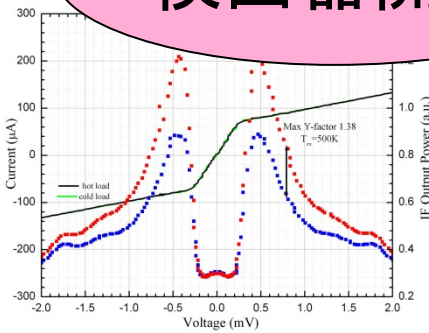
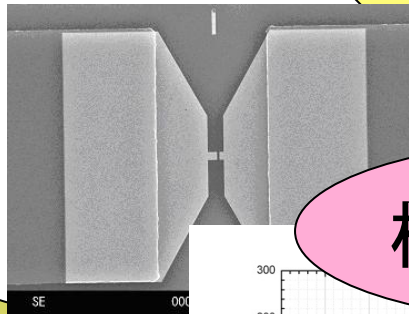
観測研究



基礎実験



検出器開発



望遠鏡開発